

## Принципы временного разделения каналов

Основой построения метода временного разделения каналов является теорема Котельникова, в соответствии с которой непрерывный на интервале  $\{-\infty, +\infty\}$  первичный сигнал  $a(t)$  с граничной частотой спектра  $f_{\max}$  может быть представлен в форме ряда так называемых отсчетных (базисных) функций  $g(t)_i = g(t - i\Delta t)$ , или

$$a(t) = \sum_{i=-\infty}^{\infty} a(i\Delta t)g(t - i\Delta t) = \sum_{i=-\infty}^{\infty} a(i\Delta t) \frac{\sin 2\pi f_{\max}(t - i\Delta t)}{2\pi f_{\max}(t - i\Delta t)}, \quad (1.1)$$

где  $a(i\Delta t)$  – отсчеты непрерывного во времени сигнала  $a(t)$ , взятые в моменты времени  $i\Delta t$ ;

$\Delta t = 1/2f_{\max}$  – интервал дискретизации непрерывного сигнала  $a(t)$ .

Частота дискретизации для аналогового сигнала рассчитывается по известным граничным частотам основной части спектра сигнала ( $f_1$  и  $f_2$ ). Предварительно оценивается относительная ширина полосы спектра сигнала. Если эта полоса меньше одной октавы, то для расчета частоты дискретизации можно пользоваться формулой

$$F_d = 2 \cdot (f_2 - f_1),$$

где  $f_1, f_2$  – граничные частоты основной части спектра сигнала.

Если относительная полоса больше одной октавы, то для расчета частоты дискретизации можно использовать соотношение

$$F_d = 2 \cdot f_2.$$

Базисные функции  $g_n(t), g_k(t)$  ортогональны на бесконечно большом интервале времени, т.е. для них справедливо

$$\int_{-\infty}^{\infty} g_n(t)g_k(t)dt = \begin{cases} 1/2f_{\max}, & \forall n = k; \\ 0, & \forall n \neq k. \end{cases}$$

Как следует из (1.1), все сведения о передаваемом первичном сигнале  $a(t)$  содержатся только в отсчетах  $a(i\Delta t)$ , а базисные функции  $g_i(t)$  для всех  $i$  одинаковы по форме и отличаются друг от друга только сдвигом во времени, поэтому вместо непрерывного сигнала  $a(t)$  можно передавать лишь последовательность отсчетов

$$a_d(t) = \sum_{i=-\infty}^{\infty} a(i\Delta t)\delta(t - i\Delta t), \quad (1.2)$$

(где  $\delta(t)$  – дельта-функция), а базисные функции  $g_i(t)$  восстанавливать на приеме

Сформировать последовательность отсчетов практически невозможно, поэтому, реализуя процесс дискретизации, умножают первичный сигнал  $a(t)$

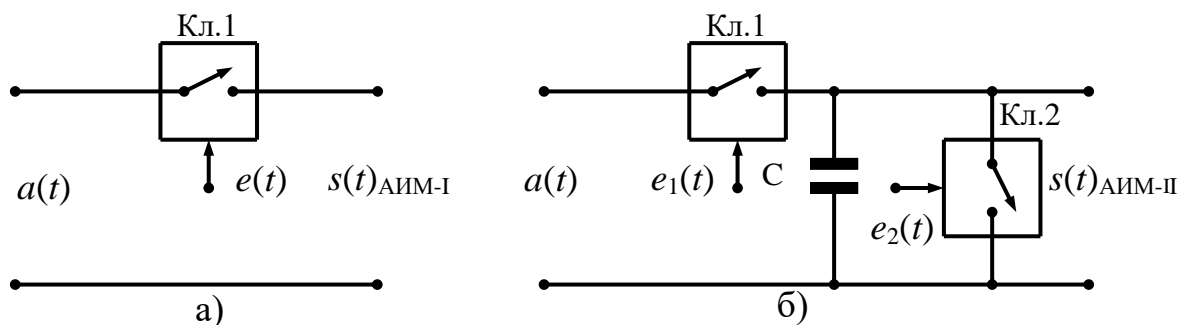


Рис1.1. Формирователи сигналов АИМ-I и АИМ-II

на периодическую последовательность импульсов (рис.1.2). В этом случае импульсную последовательность следует считать переносчиком или импульсной несущей.

Если периодическая последовательность (импульсная несущая) состоит из импульсов прямоугольной формы одного знака, то она характеризуется параметрами:

- амплитудой  $U$  ;
- длительностью (шириной)  $\tau$  ;
- тактовой частотой  $f_d = 1/\Delta t$  ;
- положением (фазой) импульсов относительно тактовых точек  $i\Delta t$ .

Отношение  $\Delta t/\tau$  называют скважностью импульсной последовательности.

### ***Амплитудно-импульсная модуляция***

Сигналы амплитудно-импульсной модуляции подразделяются на: АИМ первого рода (АИМ-I, рис.1.2) и АИМ второго рода (АИМ-II, рис.1.3). При АИМ-I мгновенное значение амплитуды импульсов зависит от мгновенного значения модулирующего колебания, а при АИМ-II высота импульсов определяется только значением модулирующего колебания в тактовых точках (в точках дискретизации). Различие между сигналами АИМ-I и АИМ-II оказывается существенным, если длительность импульсов  $\tau$  сравнима с их периодом следования.

Формирование сигналов АИМ-I осуществляется с помощью идеального ключа, управляемого последовательностью импульсов  $e(t)$  (рис.1.1,а).

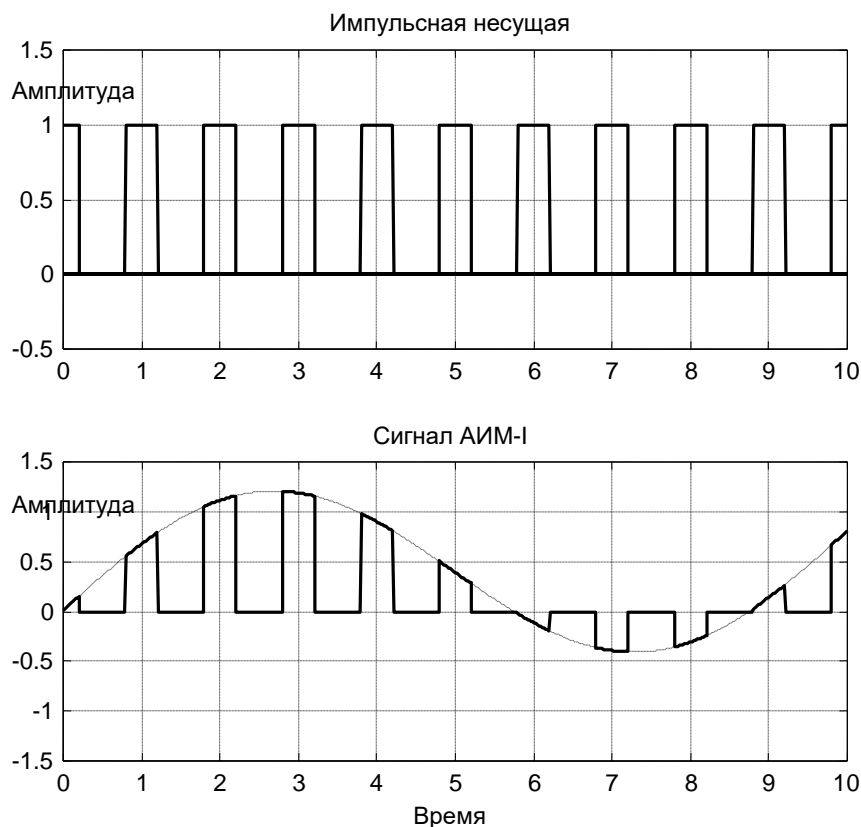


Рис.1.2. Формирование сигнала АИМ-I

Если коэффициент передачи ключа в открытом состоянии равен единице, а в закрытом – бесконечности, то сигнал АИМ-I можно записать так:

$$s(t)_{\text{АИМ-I}} = a(t)e(t),$$

где  $e(t)$  – импульсная несущая с единичной амплитудой.

При этом амплитуды этих импульсов прямо пропорциональны или равны мгновенному значению модулирующего сигнала в точках дискретизации  $i\Delta t$ . Моменты дискретизации могут совпадать с началом импульса, его серединой или концом.

Для импульсов прямоугольной формы АИМ-II формируется с помощью схемы рис.1.1,б.

В момент появления коротких импульсов последовательности  $e_1(t)$  открывается ключ Кл.1, и накопительный конденсатор  $C$  заряжается до значения, равного  $a(i\Delta t)$ . Это значение напряжения на конденсаторе  $C$  остается до прихода импульсов второй последовательности  $e_2(t)$ , с помощью которой открывается ключ Кл.2, и через него разряжается конденсатор  $C$ .

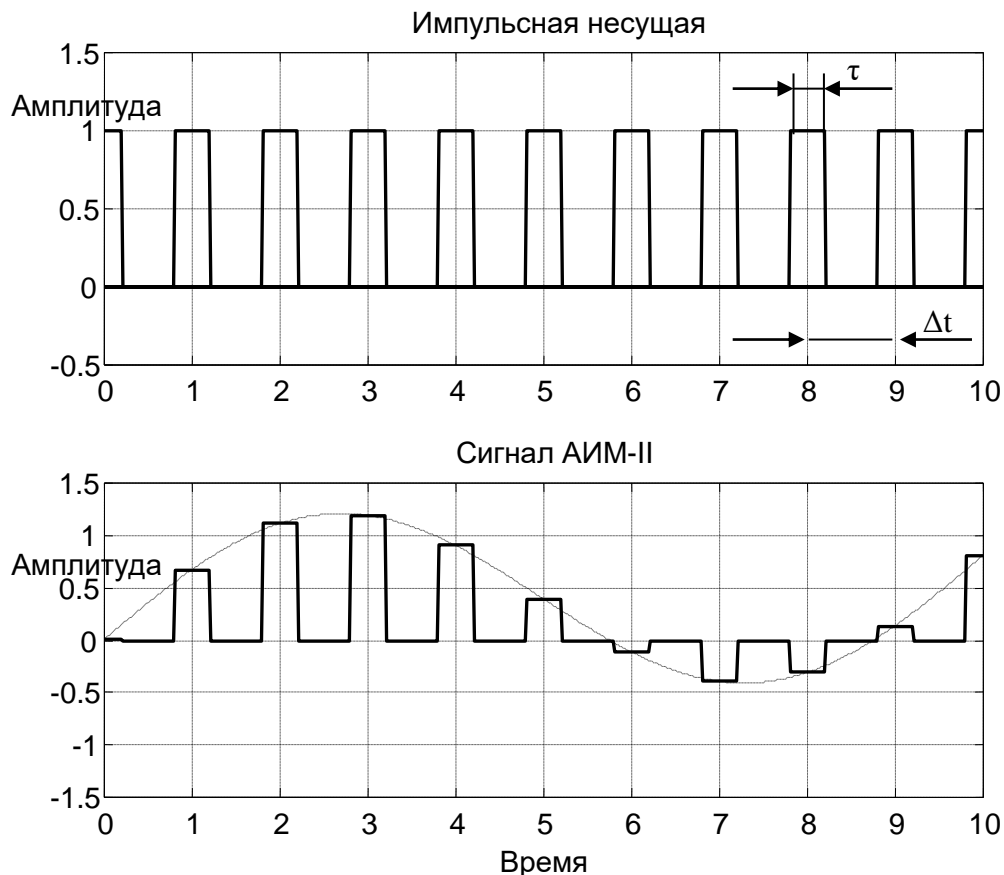


Рис.1.3. Формирование сигнала АИМ-II

Оба вида сигналов АИМ-I и АИМ-II могут применяться для построения многоканальных систем передачи с временным разделением каналов. Чтобы судить об эффективности использования методов АИМ для организации многоканальной передачи сообщений, необходимо знать полосу частот используемых сигналов.

### *Спектр сигнала АИМ-I*

Спектр сигнала АИМ-I может быть определен либо с помощью преобразования Фурье, либо с помощью свертки спектров сомножителей:

$$\begin{aligned}
 s(t)_{\text{АИМ-I}} &\Leftrightarrow S(j\omega)_{\text{АИМ-I}} = \int_{-\infty}^{\infty} s(t)_{\text{АИМ-I}} \exp(-j\omega t) dt = \\
 &= \frac{1}{2\pi} \int_{-\infty}^{\infty} A(j\Omega) E[j(\omega - \Omega)] d\Omega,
 \end{aligned}$$

где  $a(t) \Leftrightarrow A(j\Omega)$  – спектр первичного сигнала  $a(t)$ ;

$E(j\Omega)$  – спектр импульсной несущей.

Оба эти метода предполагают детерминированность функций  $s(t)_{\text{АИМ-I}}$  или  $A(j\Omega)$  на всем интервале интегрирования.

Хотя первичный сигнал  $a(t)$  является случайной функцией времени, тем не менее, можно положить, что все спектральные составляющие  $a(t)$

находятся в пределах огибающей (шаблона) спектра  $A(\omega)$ . Тогда спектр первичного сигнала  $a(t)$  имеет вид  $A(\omega)$  (рис.1.4, верхний график).

Импульсная несущая  $e(t)$  может быть представлена в форме ряда

Фурье 
$$e(t) = \sum_{l=0}^{\infty} \alpha_l \cos l\omega_d t.$$

Коэффициенты  $\alpha_l$  ряда Фурье определяются соотношением

$$\alpha_l = \frac{1}{\Delta t} \int_{-\Delta t/2}^{\Delta t/2} e(t) \cos l\omega_d t dt.$$

Для импульсной несущей в форме периодической последовательности прямоугольных импульсов длительностью  $\tau$  с единичной амплитудой коэффициенты ряда Фурье

$$\alpha_l = \frac{2}{\Delta t} \int_0^{\Delta t/2} e(t) \cos l\omega_d t dt = \frac{1}{\Delta t} E_0(l\omega_d) = \frac{\tau}{\Delta t} \frac{\sin l\omega_d \tau/2}{l\omega_d \tau/2}.$$

Отсюда следует, что коэффициенты ряда Фурье импульсной несущей  $e(t)$  при любой форме импульсов  $e_0(t)$  с точностью до постоянного множителя  $1/\Delta t$  численно равны отсчетным значениям спектра  $E_0(\omega)$  одиночного импульса функции  $e(t)$ . Спектры косинусоид с частотами  $l\omega_d$  определяются известным соотношением

$$\cos l\omega_d t \Leftrightarrow \pi [\delta(\omega - l\omega_d) + \delta(\omega + l\omega_d)].$$

В соответствии с этим спектр импульсной несущей принимает вид

$$e(t) \Leftrightarrow E(\omega) = \frac{1}{\Delta t} \sum_{l=0}^{\infty} E_0(l\omega_d) [\delta(\omega - l\omega_d) + \delta(\omega + l\omega_d)]$$

Откуда спектр сигнала АИМ-I (рис.1.4, нижний график)

$$S(\omega)_{\text{АИМ-I}} = \pi \frac{\tau}{\Delta t} \left[ A(\omega) + \sum_{l=1}^{\infty} E_0(l\omega_d) A(\omega \pm l\omega_d) \right]. \quad (1.3)$$

Из этого соотношения следует, что спектр сигнала АИМ-I содержит с точностью до постоянного множителя  $\pi\tau/\Delta t$  спектр модулирующего первичного сигнала  $a(t)$  и бесконечное множество боковых полос около каждой гармоники импульсной несущей. Следовательно, первичный сигнал  $a(t)$  можно выделить из сигнала  $s(t)_{\text{АИМ-I}}$  с помощью фильтра нижних частот с граничной частотой полосы пропускания, находящейся в пределах  $f_{\max} \dots (f_d - f_{\max})$ . Это будет иметь место только в случае, когда спектр первичного сигнала  $a(t)$  не перекрывается с нижней боковой полосой колебания частоты  $\omega_d$ , промодулированного первичным сигналом  $a(t)$ , поэтому должно выполняться условие  $\omega_d \geq 2\omega_{\max}$ .

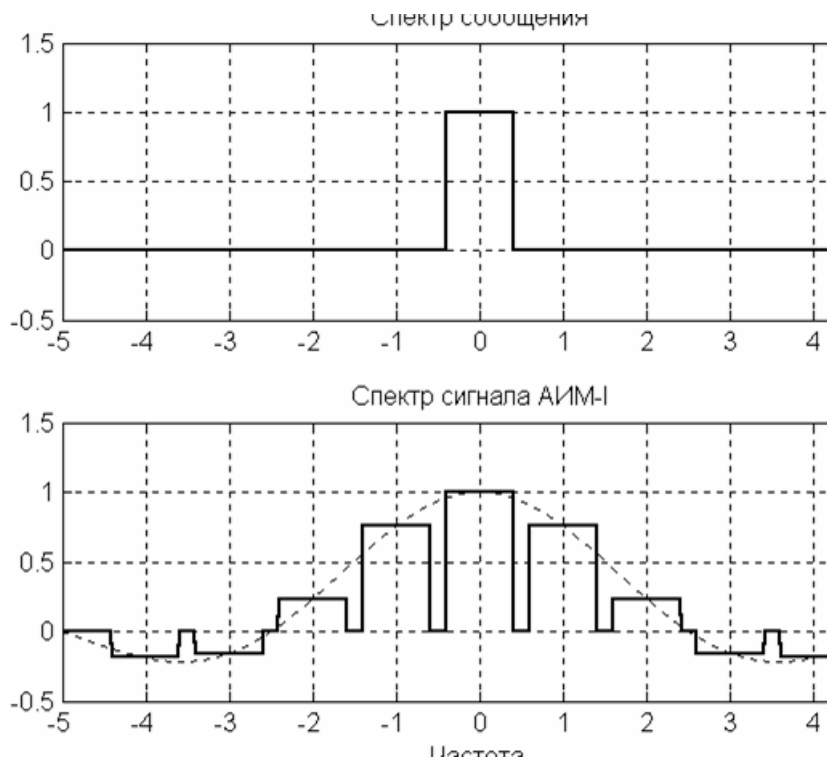


Рис.1.4. Спектр сигнала АИМ-I

Так как  $\omega_d = 2\pi / \Delta t$ , а  $\omega_{\max} = 2\pi f_{\max}$ , приходим к условию выбора необходимого интервала дискретизации согласно теореме Котельникова, когда  $\Delta t \leq 1/2f_{\max}$ . Если же при фиксированной частоте дискретизации оказывается, что  $\omega_d < 2\omega_{\max}$ , то в полосу частот первичного сигнала будут попадать спектральные составляющие продуктов амплитудной модуляции первой гармоники импульсной несущей и первичного сигнала  $a(t)$  (рис.1.4). Эти спектральные составляющие на выходе ФНЧ будут создавать **помехи дискретизации**.

Таким образом, выделение первичного сигнала из сигнала АИМ-I без помех дискретизации возможно только при выполнении условий теоремы Котельникова.

На практике различные первичные сигналы, например разговорные, обладают разной шириной спектра  $\omega_{\max}$ , а частота дискретизации  $\omega_d$  выбирается одинаковой. В связи с этим для исключения возможности появления помех дискретизации первичные сигналы вначале ограничиваются по спектру с помощью ФНЧ, а затем производится их дискретизация.

Применительно к организации каналов тональной частоты в системах передачи временного разделения частота дискретизации выбирается равной 8 кГц, а ФНЧ имеет частоту среза 3,4 кГц.

### Спектр сигнала АИМ-II

При определении спектра сигнала АИМ-II воспользуемся вновь соотношением, на основании которого сигнал АИМ-II представим в виде свертки последовательности отсчетов  $\{a(i\Delta t)\}$  с центральным элементом  $e_0(t)$  импульсной несущей  $e(t)$ , т. е.

$$\begin{aligned} s(t)_{\text{АИМ-II}} &= \int_{-\infty}^{\infty} e_0(\tau) a_d(t - \tau) d\tau = \\ &= \sum_{i=-\infty}^{\infty} a(i\Delta t) \int_{-\infty}^{\infty} e_0(\tau) \delta(t - i\Delta t) d\tau = \sum_{i=-\infty}^{\infty} a(i\Delta t) e_0(t - i\Delta t). \end{aligned}$$

С другой стороны, известно, что свертке во времени функций  $e_0(t)$  и  $a_d(t)$  в частотной области соответствует произведение спектров исходных сигналов

$$s(t)_{\text{АИМ-II}} \Leftrightarrow S(\omega)_{\text{АИМ-II}} = E_0(\omega) A_d(\omega),$$

где  $a(t)_d \Leftrightarrow A_d(\omega)$  – спектр отсчетов первичного сигнала  $a(t)$ .

Спектр одиночного элемента импульсной несущей может быть определен достаточно просто при любой его форме. Так, для прямоугольного импульса с амплитудой  $U$  и длительностью  $\tau$  имеем

$$E_0(\omega) = \tau U \frac{\sin \omega \tau / 2}{\omega \tau / 2}.$$

Спектр последовательности отсчетов легко получить из спектра сигнала АИМ-I путем предельного перехода при  $\tau \rightarrow 0$  и при амплитуде импульсов  $U$ , стремящейся к бесконечности, так чтобы площадь каждого отсчетного импульса была равна единице. Для прямоугольных импульсов получаем

$$\begin{aligned} A_d(\omega) &= \lim_{\tau \rightarrow 0} \frac{\tau U}{\Delta t} \sum_{l=-\infty}^{\infty} \frac{\sin l \omega_d \tau / 2}{l \omega_d \tau / 2} [A(\omega - l \omega_d) + A(\omega + l \omega_d)] = \\ &= \frac{1}{\Delta t} \sum_{l=-\infty}^{\infty} [A(\omega - l \omega_d) + A(\omega + l \omega_d)]. \end{aligned}$$

Объединяя  $E_0(\omega)$  и  $A_d(\omega)$  в форме произведения, получаем

$$S(\omega)_{\text{АИМ-II}} = E_0(\omega) A_d(\omega) = E_0(\omega) \left[ A(\omega) + \sum_{l=1}^{\infty} A(\omega \pm l \omega_d) \right].$$

Для импульсов в импульсной несущей в форме прямоугольника спектр принимает конкретный вид

$$S(\omega)_{\text{АИМ-II}} = \frac{\tau}{\Delta t} \frac{\sin \omega \tau / 2}{\omega \tau / 2} \left[ A(\omega) + \sum_{l=1}^{\infty} A(\omega \pm l \omega_d) \right]. \quad (1.4)$$

Таким образом, спектр сигнала АИМ-II (рис.1.5) также, как и при АИМ-I, состоит из спектра  $A(\omega)$  модулирующего первичного сигнала  $a(t)$  и бесчисленного множества боковых полос около каждой гармоники импульсной несущей. Но, в отличие от АИМ-I, здесь перед суммой стоит частотно-зависимый множитель  $E_0(\omega)$ , равный спектру отдельного элемента импульсной несущей, приводящий к амплитудно-частотным искажениям всех спектральных составляющих, включая и  $A(\omega)$ .

Выделение полезной составляющей из спектра сигнала АИМ-II без помех дискретизации здесь также возможно с помощью ФНЧ, при условии, что  $\omega_d \geq 2\omega_{\max}$ . Из спектральных диаграмм видно, что степень амплитудно-частотных искажений определяется длительностью  $\tau$  отсчетных импульсов в импульсной несущей  $e(t)$ . При  $\tau \rightarrow 0$  амплитудно-частотные искажения уменьшаются и сигнал АИМ-II практически совпадает с сигналом АИМ-I. С другой стороны, доля полезной составляющей в спектре сигнала как АИМ-I, так и АИМ-II при  $\tau \rightarrow 0$  уменьшается, что, естественно, сказывается на помехозащищенности выделяемого полезного сигнала.

В реальных системах передачи с временным разделением каналов всегда  $\tau \ll \Delta t$ . Следовательно, ничтожно малой оказывается доля полезной составляющей. В связи с этим после выделения на приеме отсчетов конкретного сигнала они растягиваются во времени. Возникающие большие амплитудно-частотные искажения затем корректируются с помощью корректора амплитудно-частотных искажений с передаточной функцией

$$G(\omega) = \frac{\omega\tau/2}{\sin(\omega\tau/2)}, \quad 0 < |\omega| \leq \omega_{\max}.$$

Общей особенностью сигналов АИМ-I и АИМ-II является бесконечно широкая полоса частот, поэтому непосредственное применение таких сигналов в трактах передачи с ограниченной полосой частот нецелесообразно, поскольку из-за ограничения спектра сигнала в тракте форма символов изменяется, что приводит к появлению межсимвольной интерференции в каждом канале и к появлению переходных влияний между каналами. Переходные влияния имеют характер внятных переходных разговоров.



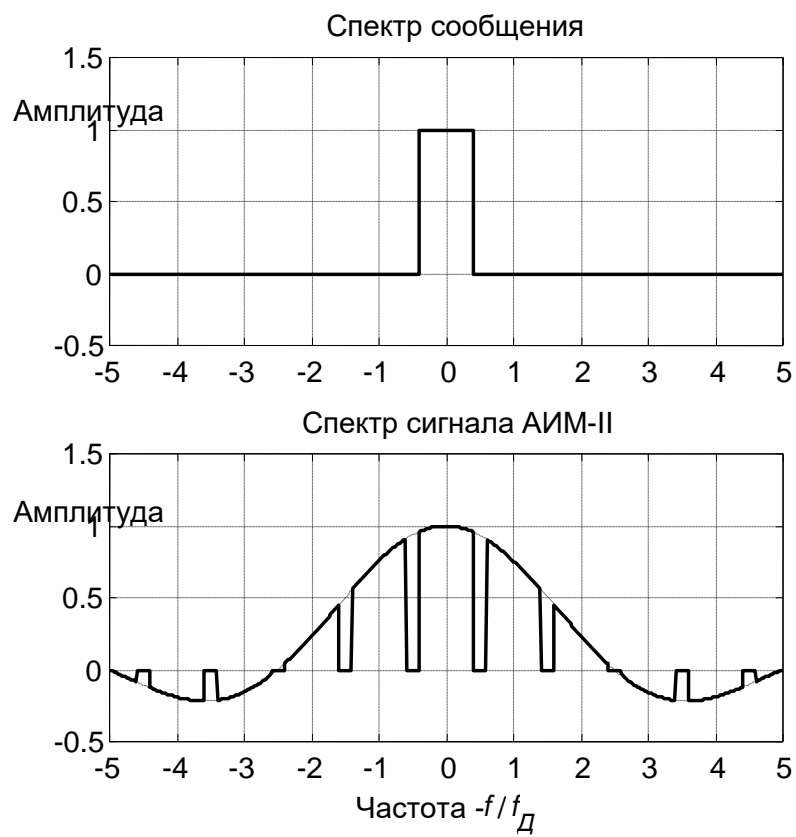


Рис.1.5. Спектр сигнала АИМ-II